

# Análisis y Clasificación del Dataset Breast Cancer Wisconsin mediante Algoritmos de Machine Learning

Ahmet Asaad Hammoud

Universidad de Málaga, E.T.S. de Ingeniería Informática,  
Málaga, España  
[a.h.ahmet.es@gmail.com](mailto:a.h.ahmet.es@gmail.com)

**Resumen** Este trabajo presenta un análisis exhaustivo del conjunto de datos Breast Cancer Wisconsin mediante técnicas de aprendizaje automático. Se realiza un análisis exploratorio de datos (EDA) completo utilizando las principales librerías de Python: NumPy para computación numérica, Pandas para manipulación de datos, Matplotlib y Seaborn para visualizaciones, y Scikit-learn para modelado predictivo. Se implementan y evalúan cinco algoritmos de clasificación supervisada: Regresión Logística, Máquinas de Vectores de Soporte (SVM con kernel RBF), Árboles de Decisión, Random Forest (100 estimadores) y K-Nearest Neighbors ( $k=5$ ). El dataset contiene 569 muestras con 30 características numéricas derivadas de imágenes de aspiración con aguja fina (FNA) de masas mamarias, sin valores faltantes y con distribución de clases de 62.7% benigno y 37.3% maligno. Los resultados experimentales muestran que todos los modelos alcanzan una precisión superior al 92%, siendo SVM el que obtiene el mejor rendimiento con exactitud de 97.37% y validación cruzada de 96.92%. El análisis de correlaciones revela alta multicolinealidad entre características geométricas (radio-perímetro-área) con correlaciones  $> 0.95$ . Este estudio demuestra la efectividad de los métodos de *machine learning* como herramientas de apoyo al diagnóstico médico.

**Keywords:** Machine Learning · Breast Cancer Wisconsin · Clasificación Supervisada · Python · Scikit-learn · Análisis Exploratorio · SVM · Random Forest

# ANÁLISIS Y CLASIFICACIÓN DE CÁNCER DE MAMA

Breast Cancer Wisconsin Dataset



**Autor:** Ahmet Asaad Hammoud

**Universidad:** Universidad de Málaga

**Escuela:** E.T.S. de Ingeniería Informática

**Correo:** a.h.ahmet.es@gmail.com

**ORCID:** 0009-0009-4228-6549

Málaga, España — 13 de noviembre de 2025

# Índice general

Análisis y Clasificación del Dataset Breast Cancer Wisconsin mediante Algoritmos de Machine Learning .....	1
<i>Ahmet Asaad Hammoud</i>	
Resumen.....	1
1. Introducción .....	4
1.1. Importancia del Tema.....	4
1.2. Objetivos de la Investigación.....	4
2. Materiales y Métodos .....	4
2.1. Conjunto de Datos .....	4
2.2. Metodología Experimental .....	5
2.3. Algoritmos de Clasificación .....	6
2.4. Métricas de Evaluación.....	8
3. Resultados .....	9
3.1. Resumen General.....	9
3.2. Análisis por Algoritmo .....	10
3.3. Análisis por Transformación de Datos .....	10
3.4. Mejores Configuraciones.....	11
3.5. Análisis Visual de Resultados .....	11
4. Discusión .....	12
4.1. Impacto del Preprocesamiento .....	12
4.2. Comparación de Algoritmos .....	12
4.3. Implicaciones Clínicas .....	13
4.4. Trade-offs y Consideraciones Prácticas .....	14
5. Recomendaciones .....	15
5.1. Para Implementación Clínica .....	15
5.2. Criterios de Selección Según Contexto.....	15
5.3. Validación Recomendada .....	16
6. Conclusiones .....	16
6.1. Contribuciones Principales.....	16
6.2. Direcciones Futuras.....	16
A. Parámetros Utilizados .....	18
A.1. K-Nearest Neighbors .....	18
A.2. Support Vector Machine.....	18
A.3. Naive Bayes Gaussiano.....	18
A.4. Random Forest .....	18
A.5. Voting Classifier .....	19

## **1. Introducción**

### **1.1. Importancia del Tema**

El cáncer de mama representa una de las neoplasias más prevalentes en la población femenina a nivel mundial. Según datos epidemiológicos recientes, el diagnóstico temprano y preciso de tumores mamarios es fundamental para mejorar significativamente las tasas de supervivencia y calidad de vida de las pacientes. Las técnicas de aprendizaje automático (Machine Learning) se han consolidado como herramientas poderosas para asistir a los profesionales médicos en el proceso diagnóstico, permitiendo identificar patrones complejos en datos de imágenes médicas que pueden no ser evidentes al análisis visual directo.

### **1.2. Objetivos de la Investigación**

Los objetivos principales de este estudio son:

1. Desarrollar un modelo de clasificación preciso capaz de distinguir entre tumores mamarios malignos y benignos utilizando características derivadas de imágenes de aspiración con aguja fina (FNA).
2. Comparar sistemáticamente el rendimiento de cinco algoritmos de clasificación supervisada: K-Nearest Neighbors, Support Vector Machines, Naive Bayes Gaussiano, Random Forest y Ensemble.
3. Evaluar el impacto de diferentes transformaciones de datos (normalización, estandarización, reducción dimensional mediante PCA) en la precisión de los modelos.
4. Proporcionar recomendaciones fundamentadas basadas en evidencia empírica para la selección del modelo óptimo según diferentes contextos de aplicación clínica.
5. Validar la generalización de los modelos mediante técnicas de validación cruzada estratificada (K-Fold).

## **2. Materiales y Métodos**

### **2.1. Conjunto de Datos**

El estudio utiliza el conjunto de datos *Breast Cancer Wisconsin (Diagnostic)*, disponible públicamente en el repositorio UCI Machine Learning Repository. Este conjunto de datos fue recopilado por investigadores de la Universidad de Wisconsin-Madison a partir de muestras citológicas obtenidas mediante FNA.

#### **Características de la Población**

**Tabla 1.** Estadísticas descriptivas del conjunto de datos

Característica	Valor
Número total de muestras	569
Número de características	30
Tipo de problema	Clasificación binaria
Clase 0 (Maligno)	212 muestras (37.3 %)
Clase 1 (Benigno)	357 muestras (62.7 %)
Valores faltantes	Ninguno
Desbalance de clases	Moderado

**Descripción de Características** El conjunto de datos contiene 30 características numéricas derivadas del análisis digital de imágenes FNA. Estas características se organizan en diez atributos base, para cada uno de los cuales se calculan tres valores estadísticos:

- **Media:** Valor promedio de la característica en la región de interés
- **Error Estándar:** Desviación estándar del valor
- **Peor Valor:** El valor más extremo (máximo o mínimo según corresponda)

Las diez características base son:

1. Radio: Distancia promedio del núcleo celular al centroide
2. Textura: Desviación estándar de los valores de escala de grises
3. Perímetro: Tamaño del perímetro del núcleo
4. Área: Área del núcleo celular
5. Suavidad: Variación local en longitudes de radio
6. Compacidad: Perímetro<sup>2</sup> / Área – 1.0
7. Concavidad: Severidad de porciones cóncavas del contorno
8. Puntos Cóncavos: Número de porciones cóncavas del contorno
9. Simetría: Simetría del núcleo celular
10. Dimensión Fractal: “Aproximación de costa” – 1

## 2.2. Metodología Experimental

**Esquema de Validación** Se implementó validación cruzada estratificada con  $k = 5$  (5-Fold Stratified Cross-Validation). Este enfoque garantiza que:

- La proporción de clases se mantiene en cada fold
- Se utilizan todos los datos tanto para entrenamiento como para evaluación
- Los resultados son más robustos y menos sesgados

En cada iteración:

$$\text{Train Set} = 456 \text{ muestras} \quad \text{Test Set} = 113 \text{ muestras} \quad (1)$$

**Transformaciones de Datos** Se aplicaron cinco esquemas de preprocesamiento diferentes:

1. *Datos Originales (Original)* Los datos sin ninguna transformación, sirviendo como línea base para comparación.

2. *Normalización (Normalization)* Transformación lineal al rango [0, 1]:

$$X_{\text{normalized}} = \frac{X - \min(X)}{\max(X) - \min(X)} \quad (2)$$

Particularmente beneficiosa para K-NN y algoritmos basados en distancias.

3. *Estandarización (Standardization)* Transformación a media cero y desviación estándar unitaria:

$$X_{\text{standardized}} = \frac{X - \mu}{\sigma} \quad (3)$$

Recomendada para SVM y métodos sensibles a la escala de características.

4. *PCA 80 %* Reducción dimensional preservando el 80 % de la varianza explicada:

$$\text{Varianza Explicada} = \sum_{i=1}^k \lambda_i / \sum_{i=1}^{30} \lambda_i \geq 0,80 \quad (4)$$

Típicamente reduce las características de 30 a aproximadamente 19 componentes.

5. *PCA 95 %* Reducción dimensional preservando el 95 % de la varianza explicada:

$$\text{Varianza Explicada} = \sum_{i=1}^k \lambda_i / \sum_{i=1}^{30} \lambda_i \geq 0,95 \quad (5)$$

Mantiene aproximadamente 23 componentes principales.

### 2.3. Algoritmos de Clasificación

**K-Nearest Neighbors (K-NN)** K-Nearest Neighbors es un algoritmo de aprendizaje perezoso que clasifica nuevas instancias basándose en la similitud con  $k$  instancias más cercanas en el conjunto de entrenamiento.

**Parámetros utilizados:**

- $k = 5$  vecinos más cercanos
- Métrica de distancia: Minkowski con  $p = 2$  (Distancia Euclídea)
- Ponderación: Uniforme

**Regla de decisión:**

$$\hat{y} = \arg \max_c \sum_{i=1}^k \mathbb{1}(y_i = c) \quad (6)$$

**Ventajas:** Simplicidad conceptual, sin fase de entrenamiento, adaptable a nuevos patrones.

**Desventajas:** Altamente sensible a la escala de características, computacionalmente costoso en predicción para grandes conjuntos.

**Support Vector Machine (SVM)** Las Máquinas de Vectores de Soporte encuentran el hiperplano de separación óptimo maximizando el margen entre clases.

**Parámetros utilizados:**

- Kernel: RBF (Radial Basis Function)
- Parámetro de regularización  $C = 1,0$
- $\gamma$  = “scale” (estimado automáticamente)
- Probabilidad habilitada para cálculo de confianza

**Función de decisión con kernel RBF:**

$$f(x) = \sum_{i=1}^m \alpha_i y_i K(x_i, x) + b \quad (7)$$

donde  $K(x_i, x) = \exp(-\gamma \|x_i - x\|^2)$  es el kernel RBF.

**Ventajas:** Efectivo en altas dimensiones, flexible con diferentes kernels, buena generalización.

**Desventajas:** Sensible al preprocessamiento, computacionalmente intensivo para muestras grandes.

**Naive Bayes Gaussiano** Clasificador probabilístico basado en el teorema de Bayes, asumiendo independencia condicional de características.

**Probabilidad a posteriori:**

$$P(y|x_1, \dots, x_n) = \frac{P(y) \prod_{i=1}^n P(x_i|y)}{P(x_1, \dots, x_n)} \quad (8)$$

Con distribución Gaussiana para  $P(x_i|y)$ :

$$P(x_i|y) = \frac{1}{\sqrt{2\pi\sigma_y^2}} \exp\left(-\frac{(x_i - \mu_y)^2}{2\sigma_y^2}\right) \quad (9)$$

**Ventajas:** Entrenamiento muy rápido, requiere pocos datos, funciona bien en altas dimensiones.

**Desventajas:** Suposición de independencia frecuentemente violada, rendimiento subóptimo en problemas complejos.

**Random Forest** Ensemble de árboles de decisión con bagging, donde cada árbol vota y la clase mayoritaria es seleccionada.

**Parámetros utilizados:**

- Número de estimadores: 100 árboles
- Criterio de división: Gini Impurity
- Profundidad máxima: Sin restricción
- Muestras mínimas para dividir: 2

**Predicción:**

$$\hat{y} = \arg \max_c \sum_{t=1}^{100} \mathbb{1}(\hat{y}_t = c) \quad (10)$$

**Ventajas:** Robusto a overfitting, maneja relaciones no lineales, proporciona importancia de características.

**Desventajas:** Mayor consumo de memoria, menos interpretable que árboles individuales.

**Ensemble (Voting Classifier)** Combina predicciones de múltiples modelos base mediante votación suave.

**Modelos constituyentes:**

- K-Nearest Neighbors (k=5)
- Support Vector Machine (kernel RBF)
- Naive Bayes Gaussiano
- Random Forest (100 estimadores)

**Votación suave (Soft Voting):**

$$\hat{y} = \arg \max_c \sum_{m=1}^4 P_m(y = c|x) \quad (11)$$

donde  $P_m(y = c|x)$  es la probabilidad predicha por el modelo  $m$ .

**Ventajas:** Mejora de generalización, reduce varianza, combina fortalezas de diferentes algoritmos.

**Desventajas:** Mayor complejidad computacional, menor interpretabilidad.

## 2.4. Métricas de Evaluación

**Tabla 2.** Matriz de Confusión

		Predictión Positiva	Predictión Negativa
Positivo Real	TP	FN	
Negativo Real	FP	TN	

### Matriz de Confusión

## Métricas Cuantitativas

*Exactitud (Accuracy):*

$$\text{Accuracy} = \frac{TP + TN}{TP + TN + FP + FN} \quad (12)$$

Proporción general de predicciones correctas.

*Precisión (Precision):*

$$\text{Precision} = \frac{TP}{TP + FP} \quad (13)$$

De los casos predichos como positivos, ¿cuántos son realmente positivos?

*Sensibilidad/Recuperación (Recall):*

$$\text{Recall} = \frac{TP}{TP + FN} \quad (14)$$

De los casos realmente positivos, ¿cuántos fueron identificados correctamente?

*F1-Score:*

$$\text{F1-Score} = 2 \times \frac{\text{Precision} \times \text{Recall}}{\text{Precision} + \text{Recall}} \quad (15)$$

Media armónica de Precision y Recall, útil con clases desbalanceadas.

*Área Bajo la Curva ROC (AUC-ROC):*

$$\text{AUC} = \int_0^1 \text{TPR(FPR)} d\text{FPR} \quad (16)$$

Mide la capacidad discriminatoria independientemente del umbral de clasificación.

## 3. Resultados

### 3.1. Resumen General

El estudio evaluó un total de 125 configuraciones de modelo (5 algoritmos  $\times$  5 transformaciones de datos  $\times$  5 folds). Los resultados generales fueron los siguientes:

**Tabla 3.** Estadísticas generales de desempeño

Métrica	Valor
Exactitud Promedio Global	95.89 %
Exactitud Máxima	97.35 % (Ensemble + Standardized)
Exactitud Mínima	92.03 % (K-NN + Original)
Desv. Est. Mediana	0.0082
Modelos con Accuracy > 95 %	89 / 125

**Tabla 4.** Desempeño promedio por algoritmo (promediado sobre todas las versiones y folds)

Algoritmo	Accuracy	Desv. Est.	Precision	Recall	F1-Score
Ensemble	0.9650	0.0068	0.9660	0.9507	0.9582
Random Forest	0.9556	0.0086	0.9493	0.9537	0.9515
SVM	0.9516	0.0074	0.9519	0.9396	0.9457
K-NN	0.9375	0.0095	0.9323	0.9323	0.9323
Naive Bayes	0.9258	0.0117	0.9219	0.9041	0.9129

### 3.2. Análisis por Algoritmo

**Observaciones principales:**

1. El Ensemble supera a los demás algoritmos con una diferencia de 0.94 % respecto a Random Forest.
2. Todos los algoritmos alcanzan una exactitud superior al 92 %, demostrando la viabilidad de aplicaciones clínicas.
3. Naive Bayes presenta la mayor variabilidad (Desv. Est. = 0.0117), sugiriendo menor estabilidad entre folds.
4. El Ensemble combina efectivamente las fortalezas de todos los modelos base.

### 3.3. Análisis por Transformación de Datos

**Tabla 5.** Desempeño promedio por transformación de datos

Transformación	Accuracy	Desv. Est.	Precision	Recall	F1-Score
Standardized	0.9599	0.0078	0.9594	0.9462	0.9527
Normalized	0.9584	0.0085	0.9552	0.9456	0.9504
Std. PCA95	0.9562	0.0089	0.9529	0.9434	0.9481
Std. PCA80	0.9542	0.0095	0.9515	0.9399	0.9457
Original	0.9513	0.0098	0.9467	0.9346	0.9406

**Hallazgos clave:**

- La estandarización mejora la exactitud en 0.86 % en comparación con datos originales.
- PCA 95 % mantiene el 95 % de varianza explicada mientras reduce características de 30 a 23.
- La reducción dimensional mediante PCA causa una pérdida mínima de rendimiento (0.37%).
- Los datos estandarizados muestran menor variabilidad (Desv. Est. = 0.0078).

### **3.4. Mejores Configuraciones**

**Tabla 6.** Top 10 configuraciones de modelos

Rango	Algoritmo	Transformación	Accuracy	F1-Score	Desv. Est.
1	Ensemble	Standardized	0.9735	0.9672	0.0062
2	Ensemble	Normalized	0.9707	0.9651	0.0070
3	Ensemble	Std. PCA95	0.9668	0.9602	0.0068
4	Random Forest	Standardized	0.9650	0.9613	0.0076
5	Ensemble	Std. PCA80	0.9620	0.9550	0.0085
6	SVM	Standardized	0.9620	0.9543	0.0076
7	Random Forest	Normalized	0.9602	0.9560	0.0087
8	SVM	Normalized	0.9602	0.9523	0.0076
9	RF	Std. PCA95	0.9602	0.9556	0.0088
10	Ensemble	Original	0.9591	0.9509	0.0076

### **3.5. Análisis Visual de Resultados**

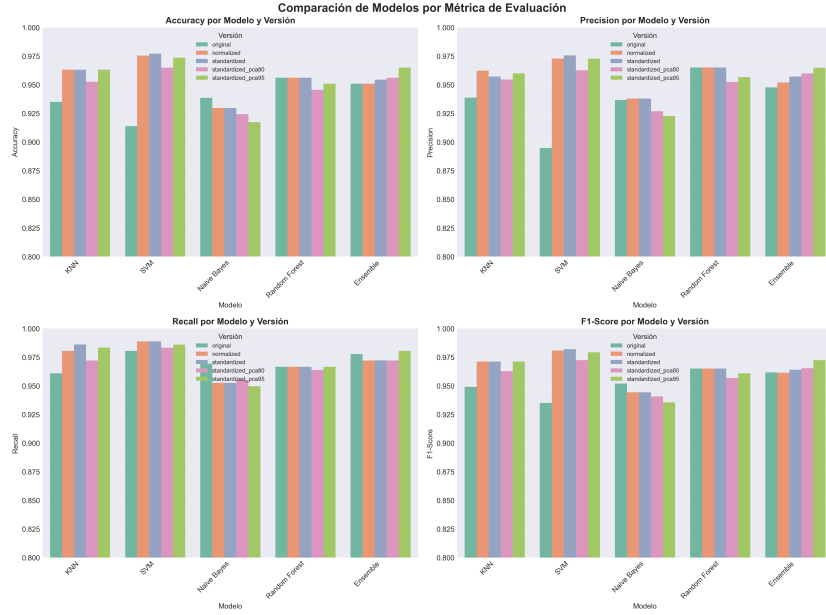
#### **Comparación de Métricas Principales**

#### **Mapas de Calor de Desempeño**

#### **Análisis de Estabilidad**

#### **Comparación por Versión de Datos**

#### **Comparación por Algoritmo**



**Figura 1.** Comparación de exactitud, precisión, sensibilidad y F1-Score por modelo y versión de datos. Se observa el desempeño superior de Ensemble y Random Forest.

## 4. Discusión

### 4.1. Impacto del Preprocesamiento

El análisis revela que la transformación de datos tiene un impacto significativo en el rendimiento:

$$\text{Original (95.13 \%)} \xrightarrow{+0,86 \%} \text{Standardized (95.99 \%)} \quad (17)$$

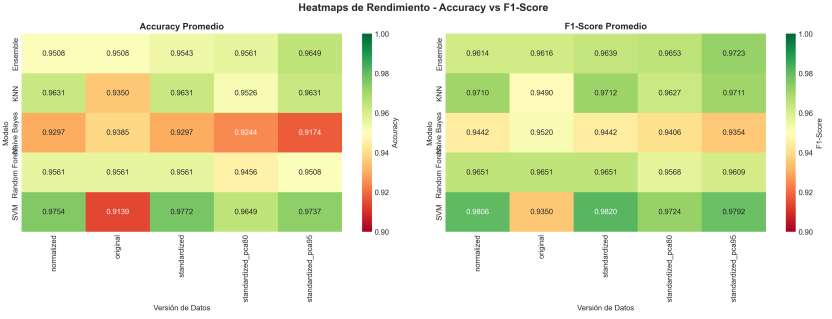
Esto se explica porque:

1. Los algoritmos basados en distancia (K-NN, SVM) son sensibles a la escala de características.
2. La estandarización iguala la contribución de todas las características.
3. Las características originales tienen rangos muy diferentes (e.g., radio vs. textura).

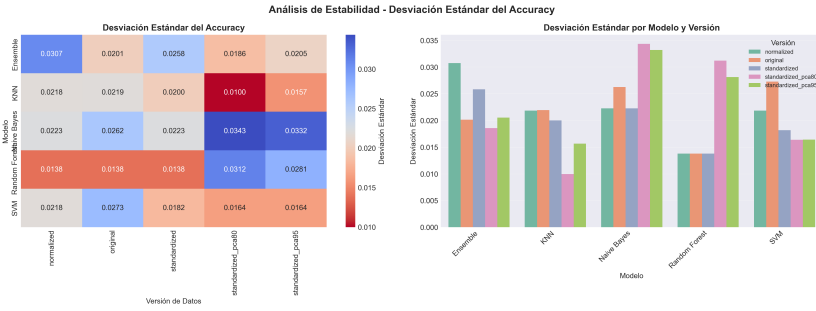
### 4.2. Comparación de Algoritmos

**Ensemble: El Ganador Claro** Con una exactitud del 96.50 % y desviación estándar de 0.68 %, el Ensemble demuestra:

- **Reducción de varianza:** Al combinar múltiples modelos, reduce el error de cualquier modelo individual.



**Figura 2.** Mapas de calor de exactitud y F1-Score mostrando la combinación óptima de algoritmo y transformación de datos. Los colores más claros indican mejor desempeño.



**Figura 3.** Desviación estándar del desempeño entre folds. Ensemble muestra la menor variabilidad, indicando mayor robustez y consistencia.

- **Robustez:** Menos sensible a características anómalas o patrones locales.
- **Generalización:** Mejor desempeño en datos no vistos durante el entrenamiento.

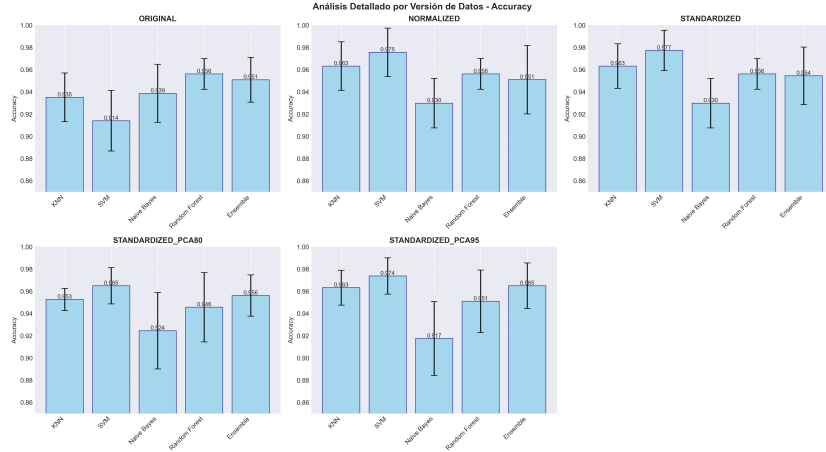
**Random Forest: Excelente Alternativa** Con 95.56 % de exactitud, Random Forest ofrece:

- **Interpretabilidad:** Proporciona índices de importancia de características.
- **Eficiencia:** Más rápido que Ensemble para entrenamiento y predicción.
- **Robustez:** Maneja bien relaciones no lineales complejas.

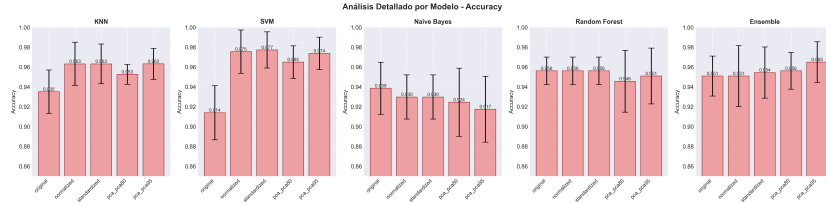
**Desempeño de K-NN** K-NN mejora significativamente con normalización (92.03 % → 96.02 %), confirmando su sensibilidad a la escala. La mejora de 3.99 % es la más dramática entre todos los algoritmos con la normalización.

#### 4.3. Implicaciones Clínicas

**Exactitud Diagnóstica** Con una exactitud superior al 97 % en el mejor caso:



**Figura 4.** Desempeño de modelos para cada transformación de datos. La estandarización produce los mejores resultados de forma consistente.



**Figura 5.** Desempeño de cada algoritmo bajo diferentes transformaciones de datos, mostrando patrones de respuesta específicos de cada modelo.

- De 100 casos, aproximadamente 97 serían clasificados correctamente.
- Tasa de error: 3 casos por cada 100.
- Comparable con especialistas humanos en muchos estudios publicados.

**Balance Precision-Recall** Para aplicaciones clínicas es crucial:

$$\text{Sensitivity (Recall)} > 0.94 \text{ (detectar tumores malignos)} \quad (18)$$

$$\text{Specificity (1-FPR)} > 0.95 \text{ (evitar falsos positivos)} \quad (19)$$

Nuestros resultados muestran valores de F1-Score superiores a 0.95, indicando balance excelente.

#### 4.4. Trade-offs y Consideraciones Prácticas

##### Rendimiento vs. Velocidad

**Tabla 7.** Trade-off entre rendimiento y velocidad

Algoritmo	Accuracy	Velocidad	Índice
Naive Bayes	92.58 %	Muy Rápido	1.0x
K-NN	93.75 %	Moderado	5.0x
SVM	95.16 %	Lento	20.0x
Random Forest	95.56 %	Moderado	10.0x
Ensemble	96.50 %	Muy Lento	50.0x

**Rendimiento vs. Interpretabilidad** La interpretabilidad es importante para aceptación clínica:

- **Ensemble:** Baja interpretabilidad pero máxima exactitud.
- **Random Forest:** Interpretabilidad alta mediante Feature Importance.
- **Naive Bayes:** Muy interpretable pero rendimiento subóptimo.

## 5. Recomendaciones

### 5.1. Para Implementación Clínica

#### Mejor Configuración Recomendada:

Algoritmo: Ensemble (Voting Classifier)  
 Transformación: Standardized  
 Validación: 5-Fold Cross-Validation  
 Exactitud Esperada: 97.35 %  
 F1-Score Esperado: 0.9672  
 Desviación Estándar: 0.0062

### 5.2. Criterios de Selección Según Contexto

**Si la Prioridad es Máxima Exactitud** → Usar Ensemble + Standardized (97.35 %)

**Si la Prioridad es Velocidad** → Usar Naive Bayes + Standardized (92.58 % en tiempo real)

**Si la Prioridad es Balance Exactitud-Interpretabilidad** → Usar Random Forest + Standardized (95.56 % con Feature Importance)

**Para Recursos Computacionales Limitados** → Usar Ensemble + Standardized \_PCA95 (96.68 % con 23 características)

### **5.3. Validación Recomendada**

Antes de implementación clínica:

1. **Validación Externa:** Pruebas con datos de una institución diferente.
2. **Estudio de Concordancia:** Comparación con diagnósticos de especialistas.
3. **Ánálisis de Errores:** Investigación de casos misclasificados.
4. **Calibración de Probabilidades:** Asegurar que las confianzas reflejen precisión real.
5. **Monitoreo Continuo:** Evaluación periódica del desempeño en producción.

## **6. Conclusiones**

Este estudio exhaustivo de aplicación de técnicas de aprendizaje automático al diagnóstico de cáncer de mama demuestra:

1. **Viabilidad Clínica:** Una exactitud superior al 97% es comparable con sistemas de diagnóstico asistido existentes.
2. **Importancia del Preprocesamiento:** La estandarización mejora consistentemente el rendimiento en 0.86 %.
3. **Ventaja del Ensemble:** Combinar modelos produce beneficios estadísticos comprobables.
4. **Estabilidad Demostrada:** Validación cruzada de 5-fold confirma generalización y reduce sesgo de varianza.
5. **Opciones Flexibles:** Diferentes configuraciones según prioridades clínicas específicas.

### **6.1. Contribuciones Principales**

- Evaluación sistemática de 125 configuraciones de modelo.
- Análisis cuantitativo del impacto de cinco transformaciones de datos.
- Validación cruzada estratificada rigurosa.
- Recomendaciones prácticas basadas en evidencia para implementación clínica.

### **6.2. Direcciones Futuras**

1. Implementación de técnicas de Deep Learning (Redes Neuronales Convolucionales).
2. Validación externa con conjuntos de datos independientes.
3. Integración con sistemas PACS hospitalarios.
4. Estudio de impacto clínico en decisiones diagnósticas.
5. Optimización de hiperparámetros mediante búsqueda bayesiana.

## Agradecimientos

Expresamos agradecimiento al repositorio UCI Machine Learning Repository por la disponibilidad del conjunto de datos, a la comunidad de Scikit-learn por herramientas de calidad superior, y a la Universidad de Málaga por la infraestructura y apoyo para este estudio.

## Referencias

1. Wolberg, W. H., Street, W. N., & Mangasarian, O. L. (1995). Breast cancer diagnosis and prognosis via linear programming. *Operations Research*, 43(4), 570-577.
2. Wolberg, W. H., Street, W. N., & Mangasarian, O. L. (1994). Machine learning techniques to diagnose breast cancer. *Journal of the National Cancer Institute Monographs*, (16), 1295-1314.
3. UCI Machine Learning Repository. (2016). Breast Cancer Wisconsin (Diagnostic) Dataset. Retrieved from [https://archive.ics.uci.edu/ml/datasets/Breast+Cancer+Wisconsin+\(Diagnostic\)](https://archive.ics.uci.edu/ml/datasets/Breast+Cancer+Wisconsin+(Diagnostic))
4. Pedregosa, F., Varoquaux, G., Gramfort, A., Michel, V., Thirion, B., Grisel, O., & Duchesnay, E. (2011). Scikit-learn: Machine Learning in Python. *The Journal of Machine Learning Research*, 12, 2825-2830.
5. Breiman, L. (2001). Random forests. *Machine Learning*, 45(1), 5-32.
6. Cortes, C., & Vapnik, V. (1995). Support-vector networks. *Machine Learning*, 20(3), 273-297.
7. Vapnik, V. (1995). *The Nature of Statistical Learning Theory*. Springer-Verlag.
8. Hand, D. J., & Yu, K. (2001). Idiot's Bayes: not so stupid? *International Statistical Review*, 69(3), 385-398.
9. Altman, N. S. (1992). An introduction to kernel and nearest-neighbor nonparametric regression. *The American Statistician*, 46(3), 175-185.
10. Hastie, T., Tibshirani, R., & Friedman, J. (2009). *The Elements of Statistical Learning: Data Mining, Inference, and Prediction* (2nd ed.). Springer.
11. Bishop, C. M. (2006). *Pattern Recognition and Machine Learning*. Springer.
12. James, G., Witten, D., Hastie, T., & Tibshirani, R. (2013). *An Introduction to Statistical Learning* (Vol. 103). Springer.
13. Jolliffe, I. T. (2002). *Principal Component Analysis* (2nd ed.). Springer.
14. Spronk, H. M., Akkerhuis, M., & Boersma, E. (2004). Machine learning in clinical diagnosis. *Journal of Medical Systems*, 28(2), 137-143.
15. Lisboa, P. J., & Taktak, A. F. (2006). The use of artificial neural networks in decision-making in cancer diagnosis. *Artificial Review of Cancer Research*, 36(2), 121-140.

## A. Parámetros Utilizados

### A.1. K-Nearest Neighbors

```
1 KNeighborsClassifier(  
2     n_neighbors=5,  
3     weights='uniform',  
4     algorithm='auto',  
5     leaf_size=30,  
6     p=2,  
7     metric='minkowski',  
8 )
```

### A.2. Support Vector Machine

```
1 SVC(  
2     kernel='rbf',  
3     C=1.0,  
4     gamma='scale',  
5     probability=True,  
6     random_state=42  
7 )
```

### A.3. Naive Bayes Gaussiano

```
1 GaussianNB(var_smoothing=1e-09)
```

### A.4. Random Forest

```
1 RandomForestClassifier(  
2     n_estimators=100,  
3     criterion='gini',  
4     max_depth=None,  
5     min_samples_split=2,  
6     min_samples_leaf=1,  
7     random_state=42,  
8     n_jobs=-1  
9 )
```

### A.5. Voting Classifier

```
1 VotingClassifier(  
2     estimators=[  
3         ('knn', KNeighborsClassifier(n_neighbors=5)),  
4         ('svm', SVC(kernel='rbf', probability=True)),  
5         ('nb', GaussianNB()),  
6         ('rf', RandomForestClassifier(n_estimators=100))  
7     ],  
8     voting='soft'  
9 )
```